



Calculating the Mean Project Completion Time in Dynamic PERT Networks (Multi-Project System) with Finite Capacity

S. Noori* & S. Yaghoubi

*Siamak Noori, Associate professor, Department of Industrial Engineering , Iran University of Science & Technology, snoori@iust.ac.ir
Saeed Yaghoubi, PhD, Department of Industrial Engineering, Iran University of Science & Technology, yaghoubi@iust.ac.ir*

Keywords

Project management,
Network of queue,
Markov Processes

ABSTRACT

In this paper, dynamic PERT networks with finite capacity of concurrent projects are expressed in the framework of networks of queues. In this investigation, it is assumed that the system capacity is finite and new projects are generated according to a Poisson process. There is only one server in every service station and the discipline of queue is FCFS (First Come, First Served). Each activity is performed independently in its corresponding service station with exponential distribution. For calculating the mean project completion time in dynamic PERT network with finite capacity, we first convert the network of queues into a stochastic network. Then, by constructing a proper finite-state continuous-time Markov model, a system of differential equations is created to solve and find the manufacturing lead time distribution for any particular work, analytically. Finally, by using Little's Theorem the mean project completion time is obtained.

© 2013 IUST Publication, IJIEPM. Vol. 24, No. 3, All Rights Reserved

*
Corresponding author. Siamak Noori
Email: snoori@iust.ac.ir



به دست آوردن میانگین زمان تکمیل پروژه در شبکه‌های پرتپویا (سیستم چندپروژه‌ای) با ظرفیت محدود

سیامک نوری^{*} و سعید یعقوبی

چکیده:

در این نوشتار، شبکه‌های پرتپویا با ظرفیت محدود در اجرای همزمان پروژه‌ها در چارچوب شبکه‌صف بیان شده است. در این پژوهش، فرض شده است که ظرفیت سیستم برای اجرای همزمان پروژه‌ها محدود می‌باشد و نیز پروژه‌های ورودی کاملاً مشابه بوده و طبق فرآیند پواسون وارد سازمان می‌شوند. در هر ایستگاه کاری فقط یک خدمت‌دهنده مستقر بوده و نیز نظم حاکم بر صفات، اولین ورودی، اولین سرویس (*FCFS*) می‌باشد. هر فعالیت به طور مستقل و با توزیع نمایی در ایستگاه کاری منتظر خود اجراء می‌شود. برای به دست آوردن میانگین زمان تکمیل پروژه در شبکه‌های پرتپویا با ظرفیت محدود، ابتدا شبکه‌صف را به شبکه احتمالی تبدیل نموده و سپس با ایجاد یک مدل مارکوفی مناسب که دارای حالات محدود و زمان پیوسته می‌باشد، معادله دیفرانسیلی سیستم تشکیل می‌گردد. در نهایت با بهره‌گیری از قانون لیتل، میانگین زمان تکمیل پروژه به دست می‌آید.

کلمات کلیدی:

مدیریت پروژه، شبکه صف،
فرآیندهای مارکوفی

۱. مقدمه

عموماً مدیریت پروژه سنتی بر روی مسائل برنامه‌ریزی تک پروژه‌ای متمرکز می‌شود، در حالی که ۹۰٪ سازمان‌ها، چندین پروژه را به طور همزمان مدیریت می‌نمایند [۱]. در چنین شرایطی، سازمان‌ها برای بهره‌برداری هر چه بیشتر از منابع، آنها را در بین پروژه‌ها به اشتراک گذاشته که این امر، برنامه‌ریزی پروژه‌ها را پیچیده و دشوار می‌سازد. در نتیجه امروزه مدیریت چندپروژه‌ای^۱ یک دیدگاه ضروری و حیاتی در اکثر سازمان‌ها، بالاخص سازمان‌های پروژه محور می‌باشد.

به طور کلی مسئله برنامه‌ریزی چندپروژه‌ای^۲ با در نظر گرفتن پروژه‌ها به عنوان اجزاء مستقل و به کاربردن یک یا چندین تابع هدف که شامل همه آنها باشد و یا به وسیله اضافه‌نمودن فعالیت‌های مجازی ابتدایی و انتهایی، و در نظر گرفتن هر پروژه

تاریخ وصول: ۹۰/۶/۹

تاریخ تصویب: ۹۱/۲/۱۷

^{*}نویسنده مسئول مقاله: دکتر سیامک نوری، دانشیار دانشکده مهندسی صنایع، دانشگاه علم و صنعت ایران، snoori@iust.ac.ir
دکتر سعید یعقوبی، استادیار دانشکده مهندسی صنایع، دانشگاه علم و صنعت ایران، yaghoubi@iust.ac.ir

² Multi-project management

³ Multi-project scheduling problem

به عنوان یک زیرپروژه و ایجاد یک پروژه بزرگ، مورد مطالعه قرار می‌گیرد. [۲]، [۳]، [۴] و [۵] جزو اولین مطالعاتی بودند که

مسئله برنامه‌ریزی چندپروژه‌ای را مورد بررسی قرار دادند. مسئله برنامه‌ریزی چندپروژه‌ای با استفاده از برنامه‌ریزی صفر و یک [۶]، و نیز روش‌های چندمعیاره [۷] مورد مطالعه قرار گرفته است. همچنین روش‌های فرآبتابکاری و ابتکاری کاربرد زیادی در حل مسائل برنامه‌ریزی چندپروژه‌ای دارند که در این زمینه می‌توان به مطالعات [۸]، [۹]، [۱۰]، [۱۱]، [۱۲] و [۱۳] اشاره کرد.

در حین اجرای پروژه، فعالیت‌های پروژه در معرض عدم قطعیت^۴ و بی‌ثباتی قابل توجهی قرار دارند که ممکن است منجر به اختلالات فراوان در برنامه‌ریزی شود. این عدم قطعیت ممکن است از برخی منابع احتمالی نشأت بگیرد که عبارتند از: تغییر محسوس زمان فعالیت‌ها نسبت به برآورد انجام شده، در دسترس نبودن متابع به مقدار لازم، عدم پیش‌بینی دقیق درخصوص فعالیت‌ها و منابع، تغییر نمودن موعده تحویل پروژه، اعمال تغییرات در شبکه پروژه (شامل: اضافه نمودن فعالیت جدید، حذف کردن یک یا چندین فعالیت و اعمال تغییرات در پیش‌نیازیها)، وقایع وقایع غیر مترقبه و غیره [۱۴].

⁴ Uncertainty

[۱۹] مساله تخصیص منابع چندین پروژه‌ای را به عنوان یک سیستم صفت چند کاناله در نظر گرفته و از شبیه‌سازی برای به دست آوردن متغیرهایی همچون سطح منبع، میانگین استفاده از منبع و میانگین زمان انجام پروژه‌ها، استفاده نمودند. ولی آنها محیط پویایی که منجر به ایجاد پروژه‌های جدید در گذر زمان شود، مدنظر قرار ندادند.

از طرف دیگر، آذرون و مدرس [۲۰] با استفاده از یک روش تحلیلی،تابع توزیع زمان تکمیل پروژه در شبکه‌های پرت پویا را مورد مطالعه قرار دادند. آنها فرض کردند که پروژه‌ها با توزیع پواسون وارد سیستم شده و توزیع زمان انجام فعالیت‌ها نمایی می‌باشد. همچنین مولفان فرض کردند که در هر ایستگاه کاری یک یا بی‌نهایت خدمت‌دهنده مستقر بوده و نیز ظرفیت سیستم نامحدود است.

همچنین، آذرون و همکاران [۲۱] تابع توزیع طولانی‌ترین مسیر در شبکه‌های صفت را که قابل استفاده در شبکه‌های پرت پویا می‌باشد، مورد مطالعه قرار داند و نیز آذرون و فاطمی‌قمری [۲۲] یک حد پایین برای میانگین زمان تکمیل پروژه در شبکه‌های پرت پویا ارائه نمودند. همچنین، آذرون و توکلی‌مقدم [۲۳] و یعقوبی و همکاران [۲۴]، یک مدل برنامه‌ریزی احتمالی به کمک فرآیند مارکوفی برای مسئله تخصیص منابع در شبکه‌های پرت پویا ارائه نمودند. اخیراً هم آذرون و همکاران [۲۵] بر روی تخصیص موعد مقرر تحويل پروژه‌ها در شبکه‌های پرت پویا متوجه شده و یک الگوریتم برای محاسبه آن ارائه کردند. لازم به ذکر است که در مقالات ذکر شده که همگی از یک روش تحلیلی برای مدل‌نمودن شبکه‌های پرت پویا استفاده می‌نمایند، فرض بر این است که محدودیتی در انجام همزمان پروژه‌ها نبوده و ظرفیت سیستم نامحدود است.

علیرغم اینکه مطالعات کمی در خصوص زمان تکمیل پروژه در شبکه‌های پرت پویا و نیز طولانی‌ترین مسیر در شبکه‌های صفت انجام شده، ولی تحقیقات متعددی در خصوص طولانی‌ترین مسیر یا زمان تکمیل پروژه در شبکه‌های احتمالی صورت پذیرفته است، به‌طوری که برخی از این مطالعات، این مقوله را به صورت تحلیلی مورد بررسی قرار داده‌اند. آدلاخا و کالکارنی [۲۶] یک دسته‌بندی خوبی بر روی شبکه‌های احتمالی انجام دادند.

چارنس و همکاران [۲۷] با فرض نمایی بودن فعالیت‌ها یک برنامه‌ریزی تصادفی برای شبکه‌های احتمالی ارائه نمودند. همچنین، یک روش سیستماتیک برای محاسبه طولانی‌ترین مسیر در شبکه‌های احتمالی با استفاده از کاهش‌دادن شبکه به فعالیت‌های سری-موازی در [۲۸] و نیز یک برنامه‌ریزی پویا برای مسئله مذکور در [۲۹] ارائه شده است. کالکارنی و آدلاخا [۳۰] با فرض نمایی بودن فعالیت‌ها شبکه پرت را به یک زنجیره مارکوفی

در بسیاری از سازمان‌ها، علاوه‌بر مواجهه با عدم قطعیت در انجام فعالیت‌ها ممکن است که پروژه‌ها در زمانهای مشخص و از پیش تعیین شده، وارد سازمان نشده و به صورت پویا و احتمالی، در گذر زمان وارد سازمان شوند، که این امر، برنامه‌ریزی پروژه را پیچیده‌تر و دشوارتر از پیش می‌نماید. این نوع مسائل که علاوه‌بر احتمالی بودن فعالیت‌ها، ورود پروژه‌ها نیز احتمالی بوده و پروژه‌ها در یک محیط پویا وارد سازمان می‌شوند، شبکه‌های پرت پویا^۱ نام‌گذاری شده‌اند.

آدلر و همکاران [۱۵] برای فائق‌آمدن به مسائل شبکه‌های پرت پویا، دیدگاه فرآیندی را ارائه نموده و با استفاده از شبیه‌سازی زمان تکمیل پروژه را مورد مطالعه قرار دادند. در این دیدگاه سازمان به صورت یک شبکه پردازشی احتمالی^۲ در نظر گرفته می‌شود که دارای ایستگاه‌های کاری می‌باشد. پروژه‌ها به‌طور مستمر وارد سازمان شده و ایستگاه‌های کاری نیز در حال خدمت داده اند به پروژه‌ها با یک نظام از پیش تعیین شده می‌باشند. در نتیجه سازمان با یک شبکه‌صف روبرو می‌باشد که پروژه‌ها برای دریافت خدمت به ایستگاه‌های کاری مراجعه می‌کنند.

در این دیدگاه فرآیندی، پروژه‌ها به صورت انفرادی با ملزمومات و منابع مختص به‌خود، در نظر گرفته نشده، بلکه به صورت یک سیستم یکپارچه‌ای که پروژه‌ها جهت دریافت خدمت، به‌طور مستمر وارد سازمان شده و منابع مشترک^۳ در اختیار تمامی پروژه‌ها قرار می‌گیرد، تلقی می‌شوند. در این نوع سیستم، پروژه‌ها پس از طی ایستگاه‌های کاری براساس شبکه پیش‌نیازی خود، تکمیل شده و آماده تحويل به کارفرمای خود می‌باشند، به‌طوری که زمان تکمیل پروژه معادل طولانی‌ترین مسیر شبکه‌صف خواهد بود.

در دنیای واقعی به‌دلیل وجود محدودیتهایی در سیستم، معمولاً امکان اجرای همزمان پروژه‌ها از یک تعداد مشخصی بیشتر وجود ندارد. با توجه به وجود این نوع محدودیت در سازمان‌ها، اناوی ایساکو و گلانی [۱۶] شبکه‌های پرت پویا را با در نظر گرفتن محدودیت ظرفیت در پذیرش پروژه‌ها مورد مطالعه قرار دادند. آنها محدودیت سیستم را در تعداد ثابت پروژه‌های در حال پردازش^۴ (CONPIP) و یا در زمان ثابت در حال پردازش (CONTIP)^۵ در نظر گرفته و با استفاده از شبیه‌سازی برای نظم‌های مختلف، زمان تکمیل پروژه را به دست آورند. مسئله تخصیص منابع در شبکه‌های پرت پویا با ظرفیت محدود نیز با استفاده از روش کراس آتروپی^۶ که یک روش مبتنی بر شبیه‌سازی می‌باشد مورد مطالعه قرار گرفته است [۱۷] و [۱۸]. همچنین فاطمی‌قمری و اشجری

¹ Dynamic PERT networks

² Stochastic processing network

³ Constant Number of Projects In Process (CONPIP)

⁴ Constant Time In Process (CONTIP)

⁵ Cross Entropy

شبکه‌های پرت پویا با ظرفیت محدود، ابتدا شبکه‌صف را به شبکه احتمالی تبدیل نموده و با ایجاد یک مدل مارکوفی مناسب که دارای حالات محدود و زمان پیوسته می‌باشد، معادله دیفرانسیلی سیستم تشکیل می‌گردد. سپس با بهره‌گیری از قانون لیتل، میانگین زمان تکمیل پروژه به دست می‌آید. موضوع مورد بحث در این مقاله برای سازمان‌های چندپروژه‌ای که دارای محدودیت در اجرای همزمان پروژه‌ها می‌باشند، بسیار مناسب است؛ به طوری که پروژه‌ها علاوه‌بر مواجهه با عدم قطعیت در انجام فعالیت‌ها، به طور پویا و احتمالی، درگذر زمان وارد سازمان می‌شوند. از نمونه‌های بارز این گونه پروژه‌ها می‌توان به پروژه‌های

تعمیرات نگهداری هوایپیما، قطار، مترو و غیره اشاره کرد. در ادامه مقاله، در بخش ۲ یک مدل مارکوفی با حالات محدود و زمان پیوسته برای شبکه‌های پرت پویا با ظرفیت محدود ارائه خواهد شد و سپس میانگین زمان تکمیل پروژه در بخش ۳ به دست خواهد آمد. در بخش ۴ هم یک مثال عددی بیان شده و در انتها، نتیجه‌گیری و پیشنهادات برای مطالعات آتی در بخش ۵ ذکر خواهد شد.

۲. شبکه‌های پرت پویا با ظرفیت محدود

در این قسمت یک زنگیره مارکوفی با تعداد حالات محدود و زمان پیوسته برای شبکه پرت پویا با ظرفیت محدود که به عنوان یک شبکه‌صف در نظر گرفته شده، ارائه می‌شود. در این مقاله فرض شده است که ظرفیت سیستم برای اجرای همزمان پروژه‌ها محدود می‌باشد و نیز پروژه‌های ورودی کاملاً مشابه بوده و طبق فرآیند پوآسون با نرخ λ وارد سازمان می‌شوند. همچنین فرض بر این است که در هر ایستگاه کاری فقط یک خدمت‌دهنده مستقر بوده و نیز نظم حاکم بر صفات $FCFS$ می‌باشد. فعالیت‌ها به طور مستقل از هم و با توزیع نمایی انجام می‌شوند، به طوری که زمان انجام فعالیت a در ایستگاه کاری a ، دارای توزیع نمایی با پارامتر μ_a می‌باشد.

برای مدل نمودن مسئله مذکور، ابتدا شبکه پرت پویا، که به صورت شبکه فعالیت در گره (AO_N) نشان داده می‌شود، به یک شبکه پرت کلاسیک (AO_A) تبدیل می‌شود. اگر فرض کنیم گره k در شبکه پرت پویا، دارای کمان‌های ورودی b_1, b_2, \dots, b_n و کمان‌های خروجی d_1, d_2, \dots, d_m باشد، در این صورت در شبکه پرت کلاسیک، با کمان k'' تعریف خواهد شد که n کمان

به گره k' وارد شده و m کمان از گره k'' خارج می‌شود.

شبکه پرت کلاسیک (AO_A) ، را به صورت $G = (V, A)$ در نظر می‌گیریم که در آن مجموعه V بیانگر مجموعه گره‌ها و مجموعه A بیانگر مجموعه فعالیت‌ها خواهد بود. لازم به ذکر است که در طول این مقاله واژه‌های فعالیت و کمان معادل بوده و ممکن است

با تعداد حالات محدود و زمان پیوسته که دارای حالت جذب‌کننده‌ای می‌باشد، تبدیل نمود و به کمک آن تابع توزیع تکمیل پروژه را محاسبه نمود. لازم به ذکر است که در این مقاله، ما نیز برای مدل نمودن شبکه‌های پرت پویا با ظرفیت محدود، یک زنگیره مارکوفی با تعداد حالات محدود و زمان پیوسته ارائه خواهیم نمود. به علت سختی و پیچیدگی در محاسبه توزیع زمان تکمیل پروژه، برخی از مطالعات مانند [۳۱]، [۳۲] و [۳۴]، تکنیک‌های تقریبی و یا حدپایین برای زمان تکمیل پروژه ارائه کرده و نیز بعضی از تحقیقات مانند [۳۵]، [۳۶] و [۳۷]، بر روی میانگین زمان تکمیل پروژه متمرکز شده‌اند.

لازم به ذکر است که به سبب وجود محدودیت ظرفیت در بسیاری از سیستم‌های واقعی، شبکه‌صف ظرفیت محدود ($FCQN$)^۱ مورد توجه بسیاری از محققان قرار گرفته است، که در این میان می‌توان به پرس [۳۸] به عنوان یکی از محققان پیشرو اشاره کرد. شبکه‌صف ظرفیت محدود در زمینه‌های مختلفی از قبیل: سیستم‌های تولیدی [۳۹]، [۴۰]، معماری نرم افزار [۴۱]، فعالیت‌های بهداشتی [۴۲]، سیستم‌های ارتباط از راه دور [۴۳]، مرکز تلفن [۴۴] وغیره، کاربرد وسیعی دارد.

با توجه به مطالعه ذکر شده می‌توان نتیجه گرفت که هیچ روش تحلیلی برای به دست آوردن میانگین زمان تکمیل پروژه در شبکه‌های پرت پویا با ظرفیت محدود انجام نشده و مطالعات در این زمینه محدود به انجام شبیه‌سازی می‌باشد. در نتیجه، نوآوری این پژوهش ارائه یک روش تحلیلی به کمک زنگیره مارکوفی با تعداد حالات محدود و زمان پیوسته جهت محاسبه میانگین زمان تکمیل پروژه می‌باشد. لازم به یادآوری است که در [۲۰] زمان تکمیل پروژه در شبکه‌های پرت پویا و در [۲۱] طولانی‌ترین مسیر در شبکه‌های صفت، بدون در نظر گرفتن محدودیت در ظرفیت سیستم‌ها مورد مطالعه قرار گرفته است، که با توجه به محدود بودن بیشتر سیستم‌ها و عدم امکان اجرای همزمان پروژه‌ها از یک تعداد مشخصی بیشتر، نامحدود فرض کردن ظرفیت سیستم چندان واقعی به نظر نمی‌رسد.

در این مقاله فرض شده است که ظرفیت سیستم برای اجرای همزمان پروژه‌ها محدود می‌باشد و نیز پروژه‌های وارد سازمان می‌شوند. همچنین فرض بر این است که در هر ایستگاه کاری فقط یک خدمت‌دهنده مستقر بوده و نیز نظم حاکم بر صفات، اولین ورودی، اولین سرویس ($FCFS$)^۲ می‌باشد. فعالیت‌ها به طور مستقل از هم و با توزیع نمایی در ایستگاه کاری متناظر خود انجام می‌شوند. در این مقاله، برای به دست آوردن میانگین زمان تکمیل پروژه در

¹ Finite Capacity Queueing Network ($FCQN$)

² First Come, First Served ($FCFS$)

تعريف ۳. اگر فرض کنیم سه تایی مرتب (E, F, Q) ، زیرمجموعه هایی از برش جهتدار یکنواخت D در شبکه باشد، در این صورت این سه تایی مرتب، سه افزایی قابل قبول (Admissible 3-partition) نامیده می شود اگر داشته باشیم $E \cap F = E \cap Q = F \cap Q = \emptyset$ ، $D = E \cup F \cup Q$ برای $a \in F$ ، داشته باشیم: $I(\beta(a)) \subset F$. یعنی اولاً سه مجموعه E و F و Q اجتماع شان برابر D بوده و اشتراکی نداشته باشند و ثانیاً برای هر فعالیت متعلق به F ، در گره انتهایی این فعالیت، حتماً فعالیتی از مجموعه E هم به این گره ختم شود.

تعريف مذکور بعداً برای تعیین برش های سه افزایی قابل قبول سیستم به کار گرفته خواهد شد. برای روش تر شدن مطلب، مثال UDC ۱ را دوباره در نظر بگیرید که در آن $I(1, 4, 5)$ یک $F = \{4\}$ ، $E = \{1\}$ ، $Q = \{5\}$ افزای شود. در این مورد این سه تایی مرتب یک برش سه افزایی قابل قبول را تشکیل می دهد، چون داریم: $E = \{1\}$ ، $F = \{4, 5\}$ و $Q = \emptyset$ ، در این صورت این سه تایی مرتب یک برش سه افزایی قابل قبول نخواهد بود، زیرا: $I(\beta(4)) = \{4, 5\} \subset F = \{4, 5\}$

تعريف ۴. در طول اجرای پروژه، در زمان t هر فعالیتی می تواند یکی و فقط یکی از حالات فعال، غیرفعال منتظر، در صف و غیرفعال را به خود اختصاص دهد که به صورت زیر تعریف می شوند:

- فعل: به فعالیتی که در زمان t در حال اجراء شدن باشد، فعالیت «فعال» گویند.
- غیرفعال منتظر: به فعالیتی که در زمان t پایان پذیرفته و لی حداقل یک فعالیت در $I(\beta(a))$ هنوز پایان نیافته است، فعالیت «غیرفعال منتظر» گویند. یعنی در زمان t هیچ فعالیت $O(\beta(a))$ مجاز به شروع نمی باشد.
- درصف: به فعالیتی که در زمان t تمام پیش نیازهای آن انجام شده و لی ایستگاه کاری متناظرش در حال خدمت دادن به پروژه دیگری می باشد. فعالیت «درصف» گویند.
- غیرفعال: به فعالیتی که در زمان t هیچ کدام از حالات ذکر شده قبلی را نداشته باشد، یعنی فعل، درصف و غیرفعال منتظر نباشد، «غیرفعال» گویند.

تعريف ۵. حالت پروژه i ام در زمان t برابر است با $X_i(t) = (Y_i(t), Z_i(t), Q_i(t))$ که در آن $(t, Y_i(t), Z_i(t), Q_i(t))$ مجموعه فعالیت های فعل پروژه i ام در زمان t ، $Z_i(t)$ مجموعه فعالیت های غیرفعال منتظر پروژه i ام در زمان t ، و

به جای یکدیگر استفاده شوند. همچنین گره v ، نشاندهنده گره ابتدایی و گره y ، نمایانگر گره انتهایی در شبکه پرت کلاسیک می باشد، در حالی که طول کمان A ، $a \in A$ ، یک متغیر تصادفی با توزیع نمایی و پارامتر μ_a می باشد. برای هر $a \in A$ ، $\alpha(a)$ را گره پایانی فعالیت a تعریف می نماییم. همچنین تعاریف زیر را برای مسئله مورد بحث در نظر می گیریم:

تعريف ۱. $I(v)$ را به عنوان مجموعه فعالیت هایی (کمان هایی) که به گره v در شبکه های پرت کلاسیک خاتمه می یابند و $O(v)$ را مجموعه فعالیت هایی (کمان هایی) که از گره v در شبکه پرت کلاسیک شروع می شوند، تعریف می کنیم، یعنی داریم:

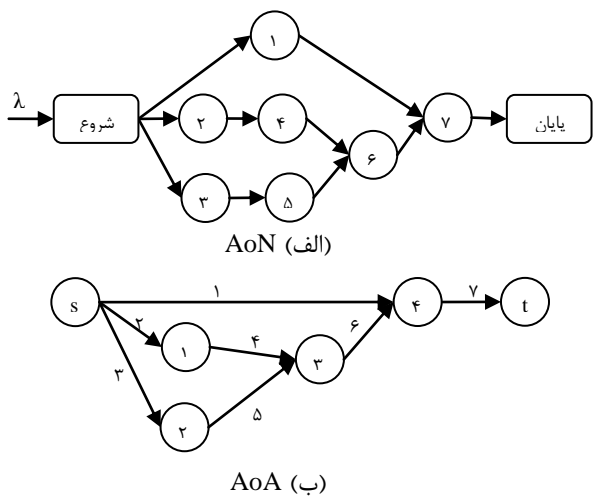
$$I(v) = \{a \in A : \beta(a) = v\} \quad (v \in V), \quad (1)$$

$$O(v) = \{a \in A : \alpha(a) = v\} \quad (v \in V). \quad (2)$$

تعريف ۲. اگر $X \subset V$ چنانچه $X - X$ و $s \in X$ باشد، در این صورت (X, \bar{X}) ، مجموعه فعالیت هایی که شروع در X و پایان در \bar{X} باشد را نمایش خواهد داد. یعنی برای برش (s, y) داریم:

$$(X, \bar{X}) = \{a \in A : \alpha(a) \in X, \beta(a) \in \bar{X}\}. \quad (3)$$

حال اگر $\phi = (\bar{X}, X)$ باشد، به آن برش، برش جهتدار یکنواخت Uniformly Directed Cut (UDC) گفته می شود یعنی اینکه در برش انجام شده، دو فعالیت در یک مسیر وجود نداشته باشد. مثال ۱. شبکه پرت پویای نشان داده شده در شکل ۱-الف را در نظر بگیرید. برش های جهتدار یکنواخت این مثال عبارتند از: $(1, 2, 3)$ ، $(1, 3, 4)$ ، $(1, 4, 5)$ ، $(1, 2, 5)$ ، $(1, 6)$ و (7) ، که از شبکه پرت کلاسیک (شکل ۱-ب) به دست می آید.



شکل ۱. شبکه های مثال ۱

End,

ii. اگر فعالیت a ام از پروژه اول ($a \in E_1$), با نرخ μ_a خاتمه پذیرد و در آن لحظه همه فعالیت های $O(\beta(a))$ با تکمیل شدن فعالیت مذکور، شروع به دریافت خدمت نمایند، در این صورت فعالیت مذکور از مجموعه فعالیت های فعال حذف شده و تمام فعالیت های $O(\beta(a))$ به مجموعه فعالیت های فعال جدید، E'_1 ، اضافه خواهد شد، یعنی داریم: $E'_1 = (E_1 - \{a\}) \cup O(\beta(a))$ و همچنین ایستگاه کاری ام a به فعالیت دیگری که در ابتدای صفحه وجود دارد، شروع به سرویس دهی می نماید. اما اگر فعالیت a ام که با نرخ μ_a تکمیل شده، متعلق به پروژه اول نباشد ($a \in E_i, i \neq 1$) و نیز در آن لحظه همه فعالیت های $O(\beta(a))$ با خاتمه یافتن فعالیت یاد شده، آماده دریافت خدمت و یا در صفحه منتظر دریافت خدمت باشند، در این صورت فعالیت مذکور از مجموعه فعالیت های فعال حذف شده و ممکن است برخی از فعالیت های $O(\beta(a))$ به مجموعه فعالیت های فعال جدید، E'_i ، اضافه شده و بقیه نیز به مجموعه فعالیت های در صفحه ملحظ شوند، Q'_i . ایستگاه کاری a هم به فعالیت دیگری که در صفحه وجود دارد، سرویس دهی می نماید. در این گذار، نرخ گذار برابر است با μ_a که الگوریتم آن به شرح ذیل می باشد:

If $a \in E_i, I(\beta(a)) \subset F_i \cup \{a\}$ then

Begin:

If $i = 1$ then

Begin:

$$E'_1 = (E_1 - \{a\}) \cup O(\beta(a)),$$

$$F'_1 = F_1 - I(\beta(a)),$$

For $j = 2$ to N do

If $a \in Q_j$ then

$$\{E'_j = E_j \cup \{a\}, Q'_j = Q_j - \{a\} \text{ and Go to End}\},$$

End,

If $i \neq 1$ then

Begin:

$$M = \phi,$$

For $j = 1$ to $i-1$ do

$$M = M \cup (O(\beta(a)) \cap E_j),$$

$$E'_i = (E_i - \{a\}) \cup (O(\beta(a)) - M),$$

$$F'_i = F_i - I(\beta(a)),$$

$$Q'_i = Q_i \cup M,$$

For $j = i+1$ to N do

If $a \in Q_j$ then

$$\{E'_j = E_j \cup \{a\}, Q'_j = Q_j - \{a\} \text{ and Go to End}\},$$

End,

End,

مجموعه فعالیت های در صفحه پروژه i ام در زمان t را نشان می دهد.

فرض می کنیم N معرف ظرفیت سیستم و یا به عبارت دیگر، حداکثر تعداد پروژه های فعال به طور همزمان در سیستم باشد، در این صورت حالت کل سیستم به صورت زیر تعریف می شود:

$$X(t) = [(Y_1(t), Z_1(t), Q_1(t)), \dots, (Y_N(t), Z_N(t), Q_N(t))] \quad (4)$$

همچنین، برش سه افزاری قابل قبول برای کل سیستم به صورت زیر معرفی می شود:

$$[E, F, Q]^{define} = [(E_1, F_1, Q_1), \dots, (E_N, F_N, Q_N)] \quad (5)$$

که در آن (E_i, F_i, Q_i) یک برش سه افزاری قابل قبول پروژه i ام و یا (ϕ, ϕ, ϕ) را نشان می دهد، به طوری که Q_i, E_i و F_i به ترتیب، مجموعه فعالیت های فعال، فعالیت های منتظر غیرفعال و فعالیت های در صفحه پروژه i ام را بیان می کند.

لازم به ذکر است که برش های سه افزاری قابل قبول یکسان برای پروژه های مختلف، نمی توانند همزمان اتفاق بیفتد. همچنین فعالیت های پروژه ای که زودتر از بقیه پروژه ها وارد سیستم شده است (پروژه ۱)، هیچگاه در صفحه منتظر دریافت خدمت نخواهد بود، یعنی همواره خواهیم داشت: $Q_1 = \phi$.

برای تعیین مولفه های ماتریس آهنگ مولد (گذار) که با $G = [g(E, F, Q)(E', F', Q')]$ نمایش داده می شود، به طور کلی

سه حالت وجود دارد که به شرح ذیل می باشد:

i. هنگامی که فعالیت a از پروژه i ام با نرخ μ_a تکمیل شود و در آن لحظه حداقل یک فعالیت کامل نشده در $I(\beta(a))$ وجود داشته باشد، در این صورت آن فعالیت از مجموعه فعالیت های فعال، E_i ، به مجموعه فعالیت های غیرفعال منتظر جدید، F'_i ، انتقال می باید و نیز ایستگاه کاری a ام به فعالیت دیگری که در ابتدای صفحه وجود دارد، شروع به سرویس دهی می نماید. در این گذار، نرخ گذار برابر است با μ_a که الگوریتم آن به شرح ذیل می باشد:

If $a \in E_i, I(\beta(a)) \subset F_i \cup \{a\}$ then

Begin:

$$E'_i = E_i - \{a\},$$

$$F'_i = F_i \cup \{a\},$$

For $j = i+1$ to N do

If $a \in Q_j$ then

$$\{E'_j = E_j \cup \{a\}, Q'_j = Q_j - \{a\} \text{ and Go to End}\},$$

$\{X(t), t \geq 0\}$ بیانگر فرآیند مارکوفی با زمان پیوسته و حالات محدود می باشد، به طوری که همه حالت ها گذرا بوده و حالت جذب کننده ای وجود ندارد. اگر S مجموعه کلیه حالات سیستم که به صورت $|S| = K = 1, 2, \dots, K$ شماره گذاری شده تعریف شود، در این صورت حالت ۱، حالت ابتدایی سیستم بوده و برابر است با: $X(0) = [(\phi, \phi, \phi), (\phi, \phi, \phi), \dots, (\phi, \phi, \phi)]$. بدینهی است که تعداد حالات سیستم با افزایش تعداد برشهای سه افزایی قابل قبول و همچنین ظرفیت سیستم به طور نمایی افزایش خواهد یافت. همچنین $P_i(t)$ را به عنوان احتمال بودن در حالت i در زمان t بشرط آنکه در زمان صفر در حالت اول باشیم، در نظر می گیریم، یعنی:

$$P_i(t) = P(X(t)=i | X(0)=1) \quad i = 1, 2, \dots, K. \quad (6)$$

با استفاده از روابط پیشرو چیمن- کولموگروف، معادلات دیفرانسیلی خطی سیستم برای بردار $P(t) = [P_1(t) \ P_2(t) \ \dots \ P_K(t)]$ از رابطه زیر به دست می آید:

$$\begin{aligned} P'(t) &= \frac{dP(t)}{dt} = P(t).G \\ P(0) &= [I \ 0 \ \dots \ 0] \end{aligned} \quad (7)$$

که در آن $P'(t)$ ، مشتق بردار حالت $P(t)$ و G ، ماتریس آهنگ مولد (گذار) فرآیند تصادفی $\{X(t), t \geq 0\}$ را نشان می دهد. برای حل معادله دیفرانسیلی رابطه (7)، آن را به یک معادله دیفرانسیلی با ضریب ثابت تبدیل می نمائیم که بدین منظور از دو طرف رابطه مذکور ترانهاده می گیریم. در نتیجه داریم:

$$P'(t)^T = G^T.P(t)^T \quad (8)$$

فرض کنید M ماتریس مُدال (Modal matrix) ماتریس G^T باشد، به طوری که ستونهای آن را بردارهای ویژه ماتریس G^T تشکیل می دهند. همچنین $\alpha_1, \alpha_2, \dots, \alpha_K$ مقادیر ویژه ماتریس G^T در نظر گرفته شده است. بنابراین حل معادله دیفرانسیل رابطه (7) برابر است با (برای جزئیات بیشتر [۴۵] را مطالعه نمائید):

$$P(t)^T = M.e^{\Lambda t}.M^{-1}.P(0)^T \quad (9)$$

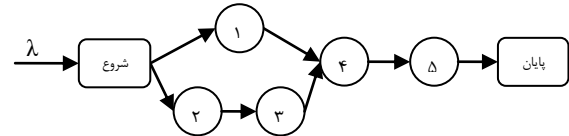
که در آن $e^{\Lambda t}$ که یک ماتریس قطری می باشد از رابطه زیر به دست می آید:

iii. اگر سیستم ظرفیت پذیرش پروژه جدید با نرخ λ را داشته باشد، در این صورت ممکن است برخی از اجزای $O(s)$ به مجموعه فعالیت های فعلی پروژه جدید اضافه شده و مابقی آن به مجموعه فعالیت های در صفحه پروژه جدید ملحق شوند. در این گذار، نرخ گذار برابر است با λ که الگوریتم آن به شرح ذیل می باشد:

If $E_i = Q_i = F_i = \phi$ and $(E_{i-1} \neq \phi \text{ or } Q_{i-1} \neq \phi \text{ or } F_{i-1} \neq \phi)$ then

```
Begin:  
    M = φ,  
    For j = 1 to i-1 do M = M ∪ (O(s) ∩ E_j),  
    Q'_i = M,  
    E'_i = O(s) - M,  
End
```

مثال ۲. شبکه پرت پویای نشان داده شده در شکل ۲ را با پنج ایستگاه کاری در نظر بگیرید، به طوری که سیستم ظرفیت پذیرش هم زمان حداکثر دو پروژه را داشته باشد.



شکل ۲. شبکه پرت پویای مثال ۲

جدول ۱ تمام برشهای سه افزایی قابل قبول شبکه مثال ۲ را نشان می دهد، در حالی که نشانه * برای فعالیت های غیرفعال منتظر و علامت q برای فعالیت های در صفحه کار رفتہ است. به عنوان مثال حالت ۱۲ در جدول ۱ را در نظر بگیرید. این حالت نشان می دهد که فعالیت ۲ از پروژه اول فعال بوده و فعالیت های ۱ از پروژه اول و دوم غیر فعال منتظر می باشند و همچنین فعالیت ۲ از پروژه دوم در صفحه منتظر دریافت خدمت می باشد.

جدول ۱. همه برشهای سه افزایی قابل قبول مثال ۲

1. $[\phi, \phi]$	12. $[(1^*, 2), (1^*, 2^q)]$	23. $[(1^*, 3), (1^*, 3^q)]$
2. $[(1, 2), \phi]$	13. $[(1, 3^*), (1^q, 2)]$	24. $[(1, 3^*), (1^q, 3^*)]$
3. $[(1^*, 2), \phi]$	14. $[(1, 3), (1^q, 3^q)]$	25. $[5, (1^*, 2)]$
4. $[(1, 2), (1^q, 2^q)]$	15. $[5, \phi]$	26. $[4, (1^*, 3)]$
5. $[(1, 3), \phi]$	16. $[4, (1, 2)]$	27. $[4, (1, 3^*)]$
6. $[(1^*, 3), \phi]$	17. $[(1^*, 3), (1^*, 2)]$	28. $[5, (1, 3)]$
7. $[(1^*, 2), (1, 2^q)]$	18. $[(1^*, 3), (1, 3^q)]$	29. $[5, (1^*, 3)]$
8. $[(1, 3), (1^q, 2)]$	19. $[(1, 3^*), (1^q, 3)]$	30. $[4, 4^q]$
9. $[(1, 3^*), \phi]$	20. $[5, (1, 2)]$	31. $[5, (1, 3^*)]$
10. $[4, \phi]$	21. $[4, (1^*, 2)]$	32. $[5, 4]$
11. $[(1^*, 3), (1, 2)]$	22. $[4, (1, 3)]$	33. $[5, 5^q]$

درنتیجه، میانگین زمان تکمیل پروژه برابر است با:

$$T = \lim_{t \rightarrow \infty} \frac{\sum_{j=1}^N \sum_{i \in S'} j P_i(t)}{\lambda \sum_{i \in S - S'} P_i(t)} \quad (12)$$

که در آن $P_i(t)$ ها از رابطه (۹) وقتی t به سمت بی نهایت و یا عددی بزرگ میل کند، به دست می آید. یعنی داریم:

$$\lim_{t \rightarrow \infty} P(t)^T = \lim_{t \rightarrow \infty} M \cdot e^{\Lambda t} \cdot M^{-1} \cdot P(0)^T \quad (13)$$

۴. مثال عددی

برای روشن شدن مطلب، مثال ۲ را دوباره در نظر بگیرید که در سیستم ظرفیت پذیرش همزمان حداکثر دو پروژه وجود دارد. فرض کنید پروژه های ورودی با توزیع پواسون و با نرخ $\lambda = 5$ پروژه در سال، وارد سیستم می شوند و توزیع زمان فعالیتها در ایستگاه های کاری نمایی بوده که میانگین آنها عبارتست از: $\mu_1 = 2.5$ ، $\mu_2 = 3.5$ ، $\mu_3 = 3$ ، $\mu_4 = 2.75$ ، $\mu_5 = 4$.

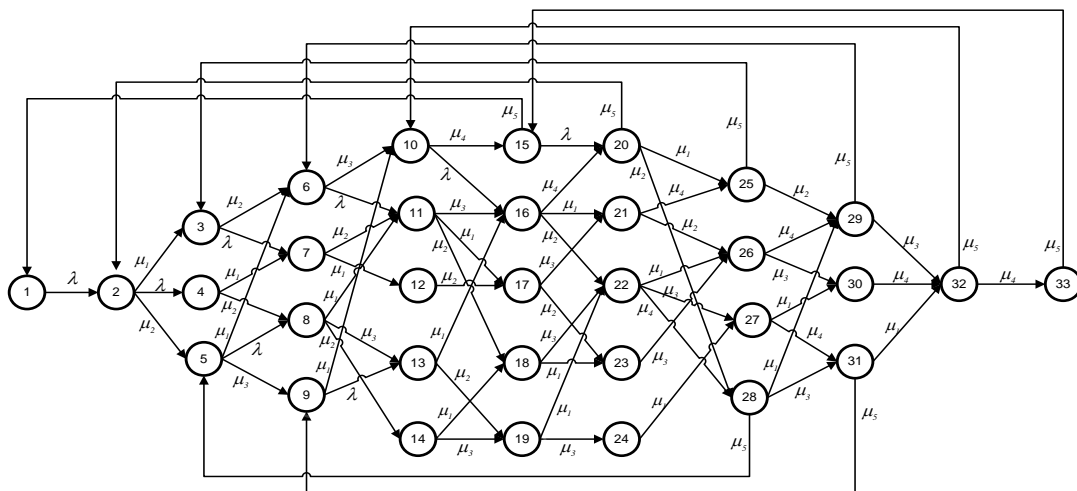
همچنین در هر ایستگاه کاری فقط یک خدمت دهنده مستقر می باشد. شکل ۳، نمودار نرخ زنجیره مارکوفی مسئله مذکور را نشان می دهد.

$$e^{\Lambda t} = \begin{bmatrix} e^{\alpha_1 t} & 0 & \dots & 0 \\ 0 & e^{\alpha_2 t} & \dots & 0 \\ \vdots & \vdots & \ddots & \vdots \\ \vdots & \vdots & \ddots & \vdots \\ 0 & 0 & \dots & e^{\alpha_k t} \end{bmatrix} \quad (10)$$

۳. میانگین زمان تکمیل پروژه

در این قسمت، هدف به دست آوردن میانگین زمان تکمیل پروژه در شبکه های پرت پویا با ظرفیت محدود می باشد. بدین منظور، فرض کنید S' یک زیر مجموعه از S باشد که سیستم i - پروژه در حال اجراء داشته باشد و یا به عبارت دیگر $i-N$ ظرفیت خالی برای پذیرفتن پروژه جدید در سیستم وجود داشته باشد. همچنین، فرض کنید P میانگین زمان تکمیل هر پروژه در سیستم باشد. درنتیجه برطبق تئوری لیتل، در حالت پایداری سیستم داریم: $P = \lambda' T$ که در آن λ' نرخ ورودی واقعی پروژه ها به سیستم می باشد که برابر است با: $\lim_{t \rightarrow \infty} \lambda \sum_{i \in S - S'} P_i(t)$. علاوه بر این P از رابطه (11) به دست می آید: (برای جزئیات بیشتر پیوست را مطالعه نمائید).

$$P = \lim_{t \rightarrow \infty} \sum_{j=1}^N \sum_{i \in S'} j P_i(t) \quad (11)$$



شکل ۳. نمودار نرخ زنجیره مارکوفی با زمان پیوسته برای مثال ۲

برای به دست آوردن میانگین زمان تکمیل پروژه در شبکه پرت پویای مثال ۲، یک دسته بندی مناسب بر روی حالت های سیستم براساس تعداد پروژه های فعال انجام می شود که در جدول ۳ نشان داده شده است.

درنتیجه، میانگین زمان تکمیل پروژه در شبکه پرت پویای مذکور با میل دادن $t \rightarrow 100$ عبارتست از:

تشکیل ماتریس آهنگ مولد (گزار) که در جدول ۲ نشان داده شده، معادلات دیفرانسیلی سیستم مذکور براساس رابطه (۷) و سپس احتمالات سیستم از رابطه (۱۳) وقتی $t \rightarrow 100$ به دست می آید.

لازم به ذکر است که در جدول ۲، عناصر قطر اصلی در هر سطر برابر با قرینه مجموع بقیه عناصر آن سطر می باشند. همچنین،

$$T = \lim_{t \rightarrow \infty} \frac{\left[P_2(t) + P_3(t) + P_5(t) + P_6(t) + P_9(t) + P_{10}(t) + P_{15}(t) \right] + 2 \left[P_4(t) + P_7(t) + P_8(t) + \sum_{i=11}^{14} P_i(t) + \sum_{i=16}^{33} P_i(t) \right]}{\lambda \cdot [P_1(t) + P_2(t) + P_3(t) + P_5(t) + P_6(t) + P_9(t) + P_{10}(t) + P_{15}(t)]} = 2.257$$

جدول ۲. ماتریس $G(\mu)$

state	1	2	3	4	5	6	7	8	9	10	11	12	13	14	15	16	17	18	19	20	21	22	23	24	25	26	27	28	29	30	31	32	33					
1		λ	0	0	0	0	0	0	0	0	0	0	0	0	0	0	0	0	0	0	0	0	0	0	0	0	0	0	0	0	0	0	0	0				
2	0		μ_4	λ	μ_2	0	0	0	0	0	0	0	0	0	0	0	0	0	0	0	0	0	0	0	0	0	0	0	0	0	0	0	0	0				
3	0	0	0	0	0	μ_2	λ	0	0	0	0	0	0	0	0	0	0	0	0	0	0	0	0	0	0	0	0	0	0	0	0	0	0	0				
4	0	0	0	0	0	0	μ_1	μ_2	0	0	0	0	0	0	0	0	0	0	0	0	0	0	0	0	0	0	0	0	0	0	0	0	0	0				
5	0	0	0	0	0	μ_1	0	λ	μ_3	0	0	0	0	0	0	0	0	0	0	0	0	0	0	0	0	0	0	0	0	0	0	0	0					
6	0	0	0	0	0	0	0	0	μ_3	λ	0	0	0	0	0	0	0	0	0	0	0	0	0	0	0	0	0	0	0	0	0	0	0	0				
7	0	0	0	0	0	0	0	0	0	0	μ_2	μ_1	0	0	0	0	0	0	0	0	0	0	0	0	0	0	0	0	0	0	0	0	0	0				
8	0	0	0	0	0	0	0	0	0	0	μ_1	0	μ_3	μ_2	0	0	0	0	0	0	0	0	0	0	0	0	0	0	0	0	0	0	0					
9	0	0	0	0	0	0	0	0	0	0	μ_1	0	0	λ	0	0	0	0	0	0	0	0	0	0	0	0	0	0	0	0	0	0	0	0				
10	0	0	0	0	0	0	0	0	0	0	0	0	μ_4	λ	0	0	0	0	0	0	0	0	0	0	0	0	0	0	0	0	0	0	0	0				
11	0	0	0	0	0	0	0	0	0	0	0	0	0	μ_3	μ_1	μ_2	0	0	0	0	0	0	0	0	0	0	0	0	0	0	0	0	0	0				
12	0	0	0	0	0	0	0	0	0	0	0	0	0	0	μ_4	0	0	0	0	0	0	0	0	0	0	0	0	0	0	0	0	0	0	0	0			
13	0	0	0	0	0	0	0	0	0	0	0	0	0	0	μ_1	0	μ_2	0	0	0	0	0	0	0	0	0	0	0	0	0	0	0	0	0				
14	0	0	0	0	0	0	0	0	0	0	0	0	0	0	0	μ_4	μ_3	0	0	0	0	0	0	0	0	0	0	0	0	0	0	0	0	0				
15	μ_5	0	0	0	0	0	0	0	0	0	0	0	0	0	0	0	0	λ	0	0	0	0	0	0	0	0	0	0	0	0	0	0	0	0	0	0		
16	0	0	0	0	0	0	0	0	0	0	0	0	0	0	0	0	μ_4	μ_1	μ_2	0	0	0	0	0	0	0	0	0	0	0	0	0	0	0				
17	0	0	0	0	0	0	0	0	0	0	0	0	0	0	0	0	0	μ_3	μ_2	0	0	0	0	0	0	0	0	0	0	0	0	0	0	0	0			
18	0	0	0	0	0	0	0	0	0	0	0	0	0	0	0	0	0	0	μ_3	μ_4	0	0	0	0	0	0	0	0	0	0	0	0	0	0	0			
19	0	0	0	0	0	0	0	0	0	0	0	0	0	0	0	0	0	0	0	μ_1	μ_3	0	0	0	0	0	0	0	0	0	0	0	0	0	0			
20	0	μ_5	0	0	0	0	0	0	0	0	0	0	0	0	0	0	0	0	0	0	μ_1	μ_2	0	0	0	0	0	0	0	0	0	0	0	0	0			
21	0	0	0	0	0	0	0	0	0	0	0	0	0	0	0	0	0	0	0	0	μ_4	μ_2	0	0	0	0	0	0	0	0	0	0	0	0	0			
22	0	0	0	0	0	0	0	0	0	0	0	0	0	0	0	0	0	0	0	0	μ_4	μ_3	μ_4	0	0	0	0	0	0	0	0	0	0	0				
23	0	0	0	0	0	0	0	0	0	0	0	0	0	0	0	0	0	0	0	0	0	μ_3	0	0	0	0	0	0	0	0	0	0	0	0	0	0		
24	0	0	0	0	0	0	0	0	0	0	0	0	0	0	0	0	0	0	0	0	0	0	μ_4	0	0	0	0	0	0	0	0	0	0	0	0	0		
25	0	0	μ_5	0	0	0	0	0	0	0	0	0	0	0	0	0	0	0	0	0	0	0	0	μ_4	μ_3	0	0	0	0	0	0	0	0	0	0	0	0	
26	0	0	0	0	0	0	0	0	0	0	0	0	0	0	0	0	0	0	0	0	0	0	0	0	μ_4	μ_2	0	0	0	0	0	0	0	0	0	0	0	0
27	0	0	0	0	0	0	0	0	0	0	0	0	0	0	0	0	0	0	0	0	0	0	0	0	μ_4	μ_3	0	0	0	0	0	0	0	0	0	0	0	0
28	0	0	0	0	μ_5	0	0	0	0	0	0	0	0	0	0	0	0	0	0	0	0	0	0	0	0	0	0	0	0	0	0	0	0	0	0	0		
29	0	0	0	0	0	μ_5	0	0	0	0	0	0	0	0	0	0	0	0	0	0	0	0	0	0	0	0	0	0	0	0	0	0	0	0	0	0		
30	0	0	0	0	0	0	0	0	0	0	0	0	0	0	0	0	0	0	0	0	0	0	0	0	0	0	0	0	0	0	0	0	0	0	0	0	0	
31	0	0	0	0	0	0	0	μ_5	0	0	0	0	0	0	0	0	0	0	0	0	0	0	0	0	0	0	0	0	0	0	0	0	0	0	0	0		
32	0	0	0	0	0	0	0	0	μ_5	0	0	0	0	0	0	0	0	0	0	0	0	0	0	0	0	0	0	0	0	0	0	0	0	0	0	0		
33	0	0	0	0	0	0	0	0	0	0	0	0	μ_5	0	0	0	0	0	0	0	0	0	0	0	0	0	0	0	0	0	0	0	0	0	0	0		

جدول ۳. دسته بندی حالت سیستم براساس تعداد پروژه های فعال

تعداد پروژه های فعال	حالت	S^j
.	1	S^0
1	2,3,5,6,9,10,15	S^1
2	4,7,8,11,12,13,14,16,17,18,19,20,21,22,23,24,25,26,27,28,29,30,31,32,33	S^2

مقاله، فرض شده بود که پروژه های کاملاً مشابه طبق فرآیند پوآسون وارد سازمان می شوند، به طوری که ظرفیت سیستم برای اجرای همزمان پروژه ها محدود می باشد. در هر ایستگاه کاری فقط یک خدمت دهنده مستقر بوده و فعالیت ها به طور مستقل و با توزیع نمایی در ایستگاه کاری متضایر خود انجام می شوند. برای به دست آوردن میانگین زمان تکمیل پروژه در شبکه های پرت پویا با ظرفیت محدود، ابتدا شبکه صفت به شبکه احتمالی تبدیل شده و سپس با ایجاد یک مدل مارکوفی مناسب که دارای حالات محدود و زمان پیوسته می باشد، معادله دیفرانسیل سیستم تشكیل گردید.

تعداد حالات سیستم با افزایش تعداد برشهای سه افزایی قابل قبول و همچنین ظرفیت سیستم به طور نمایی افزایش خواهد یافت. در نهایت با بهره گیری از قانون لیتل، میانگین زمان تکمیل

پروژه به دست آمد.

علاوه بر این، از شبیه سازی مونت کارلو شرایطی^۱ با تعداد ۱۰۰۰ جهت مقایسه نتایج تحلیلی به دست آمده استفاده می شود که در جدول ۴ نشان داده شده است.

جدول ۴. مقایسه روش ارائه شده با شبیه سازی

روش	میانگین زمان پروژه زمان
روش ارائه شده	۲,۲۵۷
شبیه سازی مونت کارلو شرایطی	۲,۲۳۶

۵. نتیجه گیری و پیشنهاد مطالعات آتی

در این مقاله، شبکه های پرت پویا با ظرفیت محدود که به صورت یک شبکه صفت در نظر گرفته شده، مورد مطالعه قرار گرفت. در این

^۱ Conditional Monte Carlo simulation

- Journal of Project Management, Vol 13, 1995, pp. 163-168.
- [2] Pritsker, A.A.B., Watters, L.J., Wolfe, P.M., "Multiproject Scheduling with Limited Resources: A Zero-One Programming Approach", Management Science, Vol. 16, No. 1, 1969, pp. 93-108.
- [3] Wiest, J.D., "A Heuristic Model for Scheduling Large Projects with Limited Resources", Management Science, Vol. 13 No. 6, 1967, pp. 359-377.
- [4] Kurtulus, I.S., Davis, E.W., "Multi-Project Scheduling: Categorization of Heuristic Rules Performance", Management Science, Vol. 28, 1982, pp. 161-172.
- [5] Kurtulus, I.S., Narula, S.C., "Multi-Project Scheduling: Analysis of Project Performance", IIE Transactions, Vol. 17, 1985, pp. 58-66.
- [6] Chen, V., "A 0-1 Goal Programming-Model for Scheduling Multiple Maintenance Project at a Copper Mine", European Journal of Operational Research, Vol. 6, 1994, pp. 176-191.
- [7] Lova, A., Maroto, C., Tormos, P., "A Multicriteria Heuristic Method to Improve Resource Allocation in Multiproject Scheduling", European Journal of Operational Research, Vol. 127, 2000, pp. 408-424.
- [8] Tsubakitani S., & Deckro R.F., "A Heuristic for Multi-Project Scheduling with Limited Resources in the Housing Industry", European Journal of Operational Research, Vol. 49, 1990, pp. 80-91.
- [9] Lova, A., & Tormos, P., "Analysis of Scheduling Schemes and Heuristic Rules Performance in Resource-Constrained Multiproject Scheduling", Annals of Operations Research, Vol. 102, 2001, pp. 263-286.
- [10] Kumanan, S., Jegan Jose G., Raja K., "Multi-Project Scheduling using an Heuristic and a Genetic Algorithm", The International Journal of Advanced Manufacturing Technology, Vol. 31, 2006, pp. 360-366.
- [11] Goncalves, J.F., Mendes, J.J.M., Resende, M.G.C., "A Genetic Algorithm for the Resource Constrained Multi-Project Scheduling Problem", European Journal of Operational Research, Vol. 189, 2008, pp. 1171- 1190.
- [12] Ying, Y., Shou, Y., Li, M., "Hybrid Genetic Algorithm for Resource Constrained Multi-Project Scheduling Problem", Journal of Zhejiang University (Engineering Science), Vol. 43, 2009, pp. 23-27.
- [13] Chen, P.H., Shahandashti, S.M., "Hybrid of Genetic Algorithm and Simulated Annealing for Multiple Project Scheduling with Multiple Resource Constraints", Automation in Construction, Vol. 18, 2009, pp. 434-443.

در دنیای واقعی معمولاً پروژه های ورودی به سازمان دارای انواع مختلفی می باشند. در نتیجه، به عنوان مطالعه آنی می توان بر روی شبکه های پرت پویا با چندین کلاس (نوع) و ظرفیت محدود متمرکز شد و این در حالی است که در این پژوهش فرض شد که پروژه های ورودی همگی کاملاً مشابه و از یک نوع می باشند. همچنین، در این مقاله فرض شده است که در هر ایستگاه کاری فقط یک خدمت دهنده وجود دارد که می توان این فرض را تعمیم داده و چندین خدمت دهنده در هر ایستگاه کاری در نظر گرفت. علاوه بر این، به عنوان کار تحقیقاتی بعدی می توان بر روی توزیع زمان تکمیل پروژه در شبکه های پرت پویا با ظرفیت محدود متمرکز شد، در حالی که در این پژوهش میانگین زمان تکمیل پروژه در این نوع شبکه ها به دست آمده است.

پیوست

فرض کنید $n^l(t)$ و $n^o(t)$ به ترتیب، تعداد پروژه های ورودی و خروجی به سیستم در بازه زمانی $[0, t]$ باشند. همچنین فرض کنید $n(t)$ تعداد پروژه های موجود در سیستم در زمان t باشد که برابر است با: $n^l(t) - n^o(t)$. علاوه بر این، فرض کنید λ' نرخ ورودی واقعی پروژه ها به سیستم و P میانگین تعداد پروژه های فعال در سیستم باشند. T را متغیر تصادفی زمان تکمیل پروژه i ام و T را میانگین زمان تکمیل پروژه در نظر می گیریم. در نتیجه، P , λ' و T برابرند با:

$$\lambda' = \lim_{t \rightarrow \infty} \frac{n^l(t)}{t} \quad (1)$$

$$P = \lim_{t \rightarrow \infty} \frac{1}{t} \int_0^t n(u) du \quad (2)$$

$$T = \lim_{t \rightarrow \infty} \frac{1}{n^l(t)} \sum_{i=1}^{n^l(t)} T_i \quad (3)$$

از سوی دیگر، داریم: $\int_0^t n(u) du = \sum_{i=1}^{n^l(t)} T_i$. بنابراین رابطه (۲) را می توان نوشت:

$$P = \lim_{t \rightarrow \infty} \frac{1}{t} \int_0^t n(u) du = \lim_{t \rightarrow \infty} \frac{1}{t} \sum_{i=1}^{n^l(t)} T_i = \\ \left(\lim_{t \rightarrow \infty} \frac{n^l(t)}{t} \right) \left(\lim_{t \rightarrow \infty} \frac{1}{n^l(t)} \sum_{i=1}^{n^l(t)} T_i \right) = \lambda' \cdot T \quad (4)$$

مراجع

- [1] Payne, J.H., "Management of Multiple Simultaneous Projects: a State-of-the-art Review", International

- Networks: 1966–1987"*, INFORM, Vol. 27, 1989, pp. 272–290.
- [27] Charnes, A., Cooper, W., Thompson, G., "Critical Path Analysis via Chance Constrained and Stochastic Programming", Operations Research, Vol. 12, 1964, pp. 460–470.
- [28] Martin, J., "Distribution of the Time through a Directed Acyclic Network", Operations Research, Vol. 13, 1965, pp. 46–66.
- [29] Hopfinger, E., & Steinhardt, V., "On the Exact Evaluation of Finite Activity Networks with Stochastic Durations of Activities", Lecture Notes in Economics and Mathematical Systems, vol. 117, Springer-Verlag, 1976.
- [30] Kulkarni, V., Adlakha, V., "Markov and Markov-Regenerative PERT Networks", Operations Research, Vol. 34, 1986, pp. 769–781.
- [31] Ord, J., "A Simple Approximation to the Completion Time Distribution for a PERT Network", Journal of Operational Research Society, Vol. 42, 1991, pp. 1011–1017.
- [32] Soroudi, H., "The Most Critical Path in a PERT Network", Journal of Operational Research Society, Vol. 45, 1994, pp. 287–300.
- [33] Ludwig, A., Mohring, R. H., Frederik, S., "A Computational Study on Bounding the Makespan Distribution in Stochastic Project Networks", Annals of Operations Research, Vol. 102, 2001, pp. 49–64.
- [34] Abdelkader, Y. H., "Evaluating Project Completion Times when Activity Times are Weibull Distributed", European Journal of Operational Research, Vol. 157, 2004, pp. 704–715.
- [35] Elmaghraby, S., "On the Expected Duration of PERT Type Networks", Management Science, Vol. 13, 1967, pp. 299–306.
- [36] Robillard, P., "Expected Completion Time in PERT Networks", Operations Research, Vol. 24, 1976, pp. 177–182.
- [37] Pontrandolfo, P., "Project Duration in Stochastic Networks by the PERT-path Technique", International Journal of Project Management, Vol. 18, 2000, pp. 215–222.
- [38] Perros, H., "Queuing Networks with Blocking: a Bibliography", ACM SIGMETRICS Performance Evaluation Review, Vol. 12, No. 2, 1984, pp. 8–12.
- [39] Papadopoulos, H.T., Heavey, C., "Queueing Theory in Manufacturing Systems Analysis and Design: A Classification of Models for Production and Transfer Lines", European Journal of Operational Research, Vol. 92, No. 1, 1996, pp. 1–27.
- [14] Herroelen, W., Leus, R., "Project Scheduling under Uncertainty: Survey and Research Potentials", European Journal of Operational Research, Vol. 165, 2005, pp. 289–306.
- [15] Adler, P.S., Mandelbaum, A., Nguyen, V., Schwerer, E., "From Project to Process Management: an Empirically-Based Framework for Analyzing Product Development Time", Management Science, Vol. 41, No. 3, 1995, pp. 458–484.
- [16] Anavi-Isakow, S., & Golany, B., "Managing Multi-Project Environments through Constant Work-in-Process", International Journal of Project Management, Vol. 21, No. 1, 2003, pp. 9–18.
- [17] Cohen, I., Golany, B., Shtub, A., "Managing Stochastic, Finite Capacity, Multi-Project Systems through the Cross Entropy Methodology", Annals of Operations Research, Vol. 134, 2005, pp. 183–199.
- [18] Cohen, I., Golany, B., Shtub, A., "Resource Allocation in Stochastic, Finite-Capacity, Multi-Project Systems through the Cross Entropy Methodology", Journal of Scheduling, Vol. 10, 2007, pp. 181–193.
- [19] Fatemi Ghomi, S.M.T., Ashjari, B., "A Simulation Model for Multi-project Resource Allocation", International Journal of Project Management, Vol. 20, 2002, pp. 127–130.
- [20] Azaron, A., Modarres, M., "Project Completion Time in Dynamic PERT Networks with Generating Projects", Scientia Iranica, Vol. 14, No. 1, 2007, pp. 56–63.
- [21] Azaron, A., Katagiri, H., Kato, K., Sakawa M., "Longest Path Analysis in Networks of Queues: Dynamic Scheduling Problems", European Journal of Operational Research, Vol. 174, 2006, pp. 132–149.
- [22] Azaron A., Tavakkoli-Moghaddam R., "Multi-Objective Time–Cost Trade-Off in Dynamic PERT Networks using an Interactive Approach", European Journal of Operational Research, Vol. 180, 2007, pp. 1186–1200.
- [23] Yaghoubi, S., Noori, S., Azaron A., Tavakkoli-Moghaddam R., "Resource Allocation in Dynamic PERT Networks with Finite Capacity", European Journal of Operational Research, Vol. 215, 2011, pp. 670–678.
- [24] Azaron, A., Fatemi Ghomi, S.M.T., "Lower Bound for the Project Completion Time in Dynamic PERT Networks", European Journal of Operational Research, Vol. 186, 2008, pp. 120–127.
- [25] Azaron A., Fynes B., Modarres M., "Due Date Assignment in Repetitive Projects", International Journal of Production Economics, Vol. 129, 2011, pp. 79–85.
- [26] Adlakha, V., Kulkarni, V., "A Classified Bibliography of Research on Stochastic PERT

- [40] Tan, B., Gershwin, S.B., "Analysis of a General Markovian Two-stage Continuous-flow Production System with a Finite Buffer", International Journal of Production Economics, Vol. 120, No. 2, 2009, pp. 327–339.
- [41] Balsamo, S., De Nitto Persone, V., Inverardi, P., "A Review on Queueing Network Models with Finite Capacity Queues for Software Architectures Performance Prediction", Performance Evaluation, Vol. 51, 2003, pp. 269–288.
- [42] Osorio, C., Bierlaire, M., "An Analytic Finite Capacity Queueing Network Model Capturing the Propagation of Congestion and Blocking", European Journal of Operational Research, Vol. 196, No. 3, 2009, pp. 996–1007.
- [43] Artalejo, J.R., "Accessible Bibliography on Retrial Queues", Mathematical and Computer Modelling, Vol. 30, 1999, pp. 1–6.
- [44] Jouini, O., Dallery, Y., Aksin, Z., "Queueing Models for Full-flexible Multi-class Call Centers with Real-time Anticipated Delays", International Journal of Production Economics, Vol. 120, No. 2, 2009, pp. 389–399.
- [45] Luenberger, D., Introduction to Dynamic Systems, John Wiley & Sons, New York, 1979.
- [46] Fatemi Ghomi, S.M.T., Hashemin, S.S., "A New Analytical Algorithm and Feneration of Gaussian Quadrature Formula for Stochastic Network", European Journal of Operational Research, Vol. 114, 1999, pp. 610–625.